

ИОНИЗАЦИЯ ГАЗОВ УЛЬТРАФИОЛЕТОВЫМ ИЗЛУЧЕНИЕМ С ДЛИНОЙ ВОЛНЫ 266 нм

Ю.В.Анищенко

Экспериментально показано, что зависимость вероятности ионизации различных газов от интенсивности оптического излучения с $\lambda = 266$ нм подчиняется степенному закону с нецелочисленным показателем степени приблизительно равным отношению потенциала ионизации к энергии кванта. Произведены оценки вероятности ионизации.

Процессы взаимодействия атомов и молекул со световым полем изучались в диапазонах видимых и инфракрасных волн (см. 1,2). Цель настоящей работы – исследовать закономерности ионизации различных газов в ультрафиолетовой (УФ) области оптического излучения, где ионизация становится энергетически возможной при одновременном воздействии трех или четырех квантов.

УФ излучение с длиной волны 266 нм было получено двукратным удвоением частоты света Nd³⁺-лазера (1, 2, 3) рис. 1, усиленного в (6) и преобразованного в кристаллах ниобата лития (7, 8). Ионизация регистрировалась с помощью ионизационной камеры (14) с электронным собиранием. Выделенное с помощью призмы (9) и диафрагмы (10) излучение фокусировалось в центре промежутка между электродами камеры (диаметр электродов – 15 мм, зазор между ними – 4,5 мм), далее свет собирался линзой (13) на катоде фотоэлектронного умножителя (ФЭУ) (16). Собирающий электрод ионизационной камеры присоединялся ко входу предусилителя (19). Окончательное усиление и регистрация электронного импульса осуществлялись осциллографом (22). Сигнал с ФЭУ через линию задержки 50 нс (20) и блок согласования нагрузок (21) поступал на тот же вход осциллографа; экран осциллографа

фа фотографировался аппаратом (23). Измерения производились в двух режимах "быстрой" и "медленной" регистрации. В первом режиме использовались предусилители (18) и (19) со временем нарастания 2 нс и уровнем шумов 20 мкВ; во втором – предусилитель (19) имел

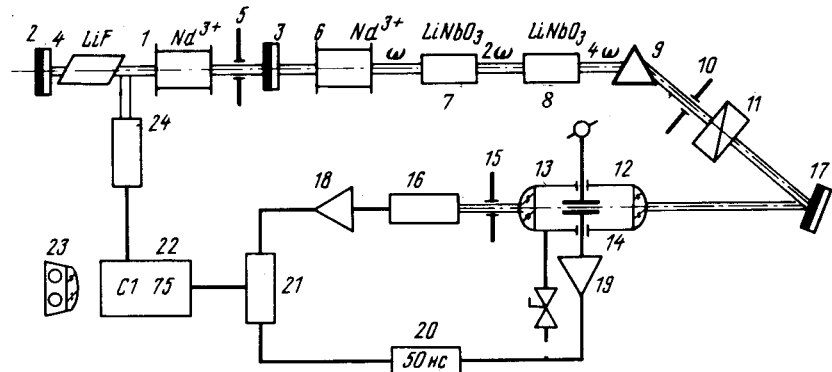


Рис. 1. Схема экспериментальной установки

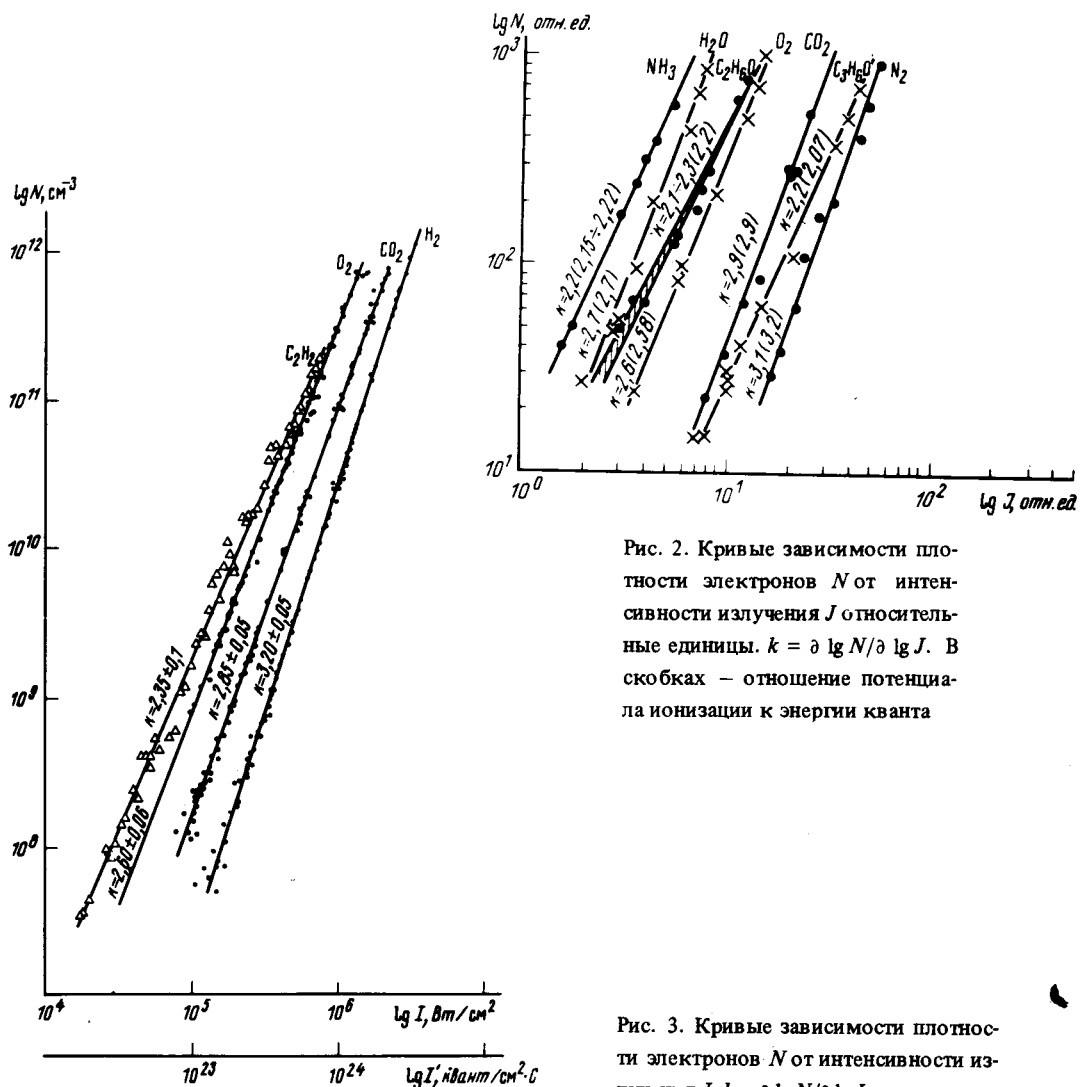


Рис. 2. Кривые зависимости плотности электронов N от интенсивности излучения J относительные единицы. $k = \partial \lg N / \partial \lg J$. В скобках – отношение потенциала ионизации к энергии кванта

Рис. 3. Кривые зависимости плотности электронов N от интенсивности излучения J . $k = \partial \lg N / \partial \lg J$

полосу ~ 10 кГц, а уровень шума был $\lesssim 0,2$ мкВ, что позволило расширить измерительный диапазон на два порядка. Быстрые измерения информировали о том, где и как происходит ионизация, позволяли количественно оценивать потери электронов за счет образования отрицательных ионов и рекомбинации. При медленной регистрации канал измерения ионизации контролировался с помощью импульсов ионизации, создаваемых α -частицами от источника из Pu^{239} . Отношение сигнал-шум при этом было равно 15. Канал регистрации интенсивности УФ излучения калибровался с помощью измерения энергии лазерных импульсов. Точность калибровки была не хуже 5%. Режим двукратного нелинейного преобразования частоты исходного излучения способствовал ограничению влияния флуктуаций модового состава света, хотя именно они были главной причиной разброса экспериментальных данных.

Результаты эксперимента представлены на рис. 2 и 3. Рис. 2 относится к режиму быстрой регистрации. Измерения производились в кислороде, азоте, углекислом газе и аммиаке при давлении 750 торр, в воде, спирте и ацетоне при давлениях 110, 200 и 250 торр. В логарифмическом масштабе по оси абсцисс отложены величины пропорциональные интенсивности УФ излучения, J , по оси ординат плотность электронов N в относительных единицах. Графики демонстрируют степенную зависимость числа пар ионов в единице объема от интенсивности излучения. На рис. 3 приведены сопоставимые графики зависимости $\lg N$ ($\lg J$) для H_2 , O_2 , CO_2 и C_2H_2 , полученные в режиме медленных измерений в нормальных условиях, $P = 760$ торр, $T = 295$ К. Данные для O_2 скорректированы с учетом потерь электронов за счет прилипания во время дрейфа к собирающему электроду.

Из эксперимента следует. 1) В диапазоне интенсивностей излучения $10^5 - 10^7$ Вт/см² вероятность ионизации подчиняется степенному закону $w = AJ^k$, где A – постоянная, характерная для данного газа. 2) Показатель степени k существенно отличается от целочисленного. 3) k с высокой точностью равен отношению потенциала ионизации газа I к энергии кванта $\hbar\omega = 4,66$ эВ, $k = I/\hbar\omega \pm 0,05 \dots 0,1$. 4) Оценка вероятности процесса дает для величины A в водороде $2,0^{+2,4} \cdot 10^{-78}$, в кислороде $3,0^{+3,6} \cdot 10^{-63}$, в углекислом газе $1,0^{+1,2} \cdot 10^{-69}$ и в ацетиле $1,0^{+1,2} \cdot 10^{-56}$.

Дробные значения k , меньшие $k_0 = \langle \frac{I}{\hbar\omega} + 1 \rangle$ встречались ранее в экспериментальных работах посвященных изучению многофотонной ионизации. Так, например, в работах ³ и ⁴, где изучалась семифотонная ионизация соответственно в водороде и азоте, k были ближе к отношению $I/\hbar\omega = 6,6$, чем к целочисленному 7. Авторы, однако, не придавали этому серьезного значения из-за неточности определения k . В нашем эксперименте, в условиях малых полей $\sim 10^3 - 10^4$ В/см, смещение и уширение возбужденных уровней не могут служить аргументом в пользу уменьшения k ; равно как и резонансные эффекты ввиду малой кратности k и относительно узкой линии генерации ≈ 1 см⁻¹.

Выражаю глубокую благодарность В.М. Сидорину и В.П. Кутахову за внимание к работе и ценные замечания; Б.Г. Горшкову, В.В. Сенько и С.Н. Степаненко за полезную дискуссию и помощь.

Литература

1. Делоне Н.Б. УФН, 1975, 115, 361.
2. Бункин Ф.В., Тугов И.И. Труды ФИАН, 1984, 146, 3.
3. Манфред Ж., Манюс К., Тугов И. Письма в ЖЭТФ, 1972, 16, 19.
4. Lu Van M., Mainfray G. Phys. Lett., A, 1972, 39, 21.